

ZGOREVALNA SINTEZA ITRIEVEGA KROMITA COMBUSTION SYNTHESIS OF YTTRIUM CHROMITE

Klementina Zupan, Meri Prodan, Stane Pejovnik

Univerza v Ljubljani, Fakulteta za kemijo in kemijsko tehnologijo, Aškerčeva 5, 1000 Ljubljana, Slovenija
klementina.zupan@uni-lj.si

Prejem rokopisa - received: 2001-02-10; sprejem za objavo - accepted for publication: 2001-03-10

Dopirani lantanov kromit se najpogosteje uporablja kot material za vmesnik v visokotemperaturnih gorivnih celicah. Poleg tega je eden od možnih kandidatov za ta sklop tudi itrijev kromit, dopiran s kalcijem, predvsem zato, ker je bolj stabilen oziroma redkeje tvori hidrokside pri delovanju celice. Itrijev kromit smo pripravili z zgorevalno sintezo iz citratno-nitratnega gela, ki je ena od alternativnih metod za pripravo aktivnih kompleksnih kovinskih oksidnih prahov. Lastnosti produktov izbrane sinteze so odvisne od citratno-nitratnega razmerja ter od geometrije reakcijske zmesi pred sintezo. Pri sintezi itrijevega kromita smo upoštevali izkušnje dobljene pri pripravi lantanovega kromita. Citratno-nitratno razmerje smo spremnjenali od 0,27 do 0,14. Ugotovili smo, da po sintezi v plasti nastanejo le amorfni produkti, po sintezi v tabletu pa za citratno-nitratna razmerja, nižja od stehiometrijske vrednosti (0,17 in 0,22), nastane kristalinični itrijev kromit v ortorombski modifikaciji. Nedopirane in dopirane prahove itrijevega kromita smo karakterizirali z različnim analiznim metodami ter določili tudi potek sintranja teh vzorcev.

Ključne besede: itrijev kromit, dopiranje, kalcij, zgorevalna sinteza

Lanthanum-chromite-based material is commonly used as a separator in solid-oxide fuel cells. In addition to the doped lanthanum chromite, Ca-substituted yttrium chromite is also a candidate material for the interconnect applications, especially since this material is more stable than lanthanum chromite with respect to the formation of hydroxides in the fuel-cell environment. One of the alternative techniques for the sinterable complex metal-oxide powder preparation is citrate-nitrate gel combustion. Product properties depend on the citrate-nitrate ratio and the sample form prior to combustion. Yttrium chromite was prepared in a similar way to the lanthanum chromite. The citrate-nitrate ratio in the solutions varied from 0.27 to 0.14. It was established that the samples formed from the layer geometry of the precursor are not crystallized, while those prepared from the pellets of the stoichiometric solutions (0.17 and 0.23) crystallized in an orthorombic modification. Undoped and calcium-substituted yttrium chromite powders were examined by several different characterisation methods. The sintering behaviour of the powders prepared in this way was also determined.

Key words: Yttrium chromite, calcium, dopant, combustion synthesis

1 UVOD

Za pripravo oksidnih keramičnih prahov najpogosteje uporabljamo kalcinacijsko metodo. Uveljavljajo se tudi drugi kemijski načini priprave, kot so: sol-gel sinteza, metoda trdnih raztopin prekurzorjev, koprecipitacija in druge metode. Zgorevalna sinteza je zanimiva, ker poleg manjše porabe energije in krajših časov sinteze omogoča pripravo homogenih prahov z nanometrsko velikostjo delcev. Na lastnosti končnih produktov po zgorevalni sintezi vplivata predvsem redukcijsko/oksidacijsko razmerje ter oblika zgorevalne zmesi pred sintezo. Izbrala teh parametrov določa temperaturo sinteze, njen čas pri tej temperaturi, stopnjo pretvorbe v končni produkt, nastanek faz ter morfologijo nastalih delcev.

Metodo zgorevalne sinteze iz citrano-nitratnega gela smo podrobnejše raziskali na primeru lantanovega kromita. Pri našem delu nas je zanimala predvsem možnost prenosa postopka na itrijev kromit. Pri sintezi vzorcev smo raziskovali vpliv različnih citratno-nitratnih razmerij na lastnosti končnega produkta. Poleg nedopiranega itrijevega kromita smo pripravili tudi produkt, dopiran s kalcijem. O itrijevem kromitu sta prvič poročala Looby in Katz leta 1954¹. Do sedaj so preučevali predvsem možnost uporabe itrijevega kromita kot materiala za vmesnik v keramičnih gorivnih celicah, zato se večina objavljenih rezultatov s tega področja

nanaša na materiale, dopirane s kalcijem YCC². Itrijev kromit je izostrukturna oblika lantanovega kromita s podobnimi električnimi in termičnimi lastnostmi. Čisti itrijev kromit ima ortorombsko perovskitno kristalno obliko³, ki je stabilna do temperature 927 °C⁴. Dopiran itrijev kromit je v primerjavi z lantanovim kromitom manj nagnjen k tvorbi hidroksidov pri delovanju gorivnih celic⁵ in se gosto sintra v temperaturnem območju od 1300 do 1400 °C. Kljub prednostim pa ostaja največja pomanjkljivost visoka cena itrija v primerjavi z lantanom².

2 EKSPERIMENTALNO DELO

Vzorce itrijevega kromita, nedopirane in dopirane s kalcijem, smo pripravili z zgorevalno sintezo citratno-nitratnih gelov. Reakcijske zmesi smo pripravili tako, da smo kovinske nitrate v ustreznem molskem razmerju raztoplili v minimalni količini vode ter dodali citronsko kislino raztopljeno v minimalni količini vode. Molsko razmerje med citronske kisline in nitratnimi ioni (c/n) je bilo 0,27, 0,22, 0,17, in 0,14. Reakcijske raztopine smo sušili pri znižanem tlaku (2,7 kPa) in temperaturi 60 °C. Citratno-nitratne gele smo oblikovali v tabletto (17 MPa). Gele smo točkovno vžgali z miniaturnim gorilnikom. Sestave in reakcijski pogoji pri zgorevalnih sintezah vseh vzorcev so navedeni v tabeli 1.

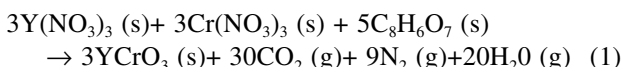
Tabela 1: Sestave, reakcijski pogoji, specifična površina ter nastale faze vzorcev pri zgorevalnih sintezah v tabletih**Table 1:** Composition, preparation conditions, specific surface area and phases present for samples prepared by combustion synthesis in the pellet

Sample Vzorec	Ca-fraction $Y_{1-x}Ca_xCrO_3$ Delež kalcija (x)	Ratio Razmerje c/n	Specific surface area Specifična površina m ² /g	Combustion rate Hitrost gorenja g/s	Identified phases Identificirane faze
YC014T	0	0,14		ne gori	-
YC017T	0	0,17	14,7	0,07	$YCrO_3$, $CrO(OH)$
YC022T	0	0,22		0,05	$YCrO_3$, $CrO(OH)$
YC027T	0	0,27	7,5	0,01	amorfen, amorphous
YCC017T	0,3	0,17		0,20	$YCrO_3$, $CrO(OH)$, $CaCrO_4$

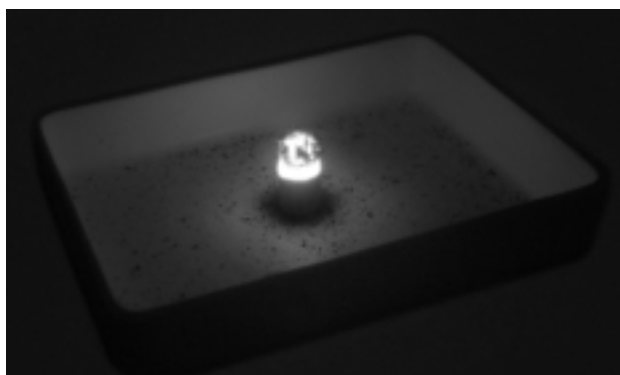
TG-analize vzorcev po sintezi smo izvedli s termoanalizatorjem Mettler 3000, rentgenske praškovne spekture pa smo posneli z rentgenskim praškovnim difraktometrom Philips PW-1710 (30 mA, 40 kV in CuK_α-radiacija). Vzorce smo po zgorevalni sintezi analizirali z vrstičnim elektronskim mikroskopom Jeol T300. Specifične površine smo določali po BET-metodi na aparaturi Micromeritics Gemini II 2370. Krivulje sintranja smo posneli na segrevalnem mikroskopu Leitz v temperaturnem intervalu od 20 °C do 1600 °C (segrevalna hitrost 10 K/min).

3 REZULTATI IN DISKUSIJA

Produkte na osnovi itrijevega kromita smo pripravili z zgorevalno sintezo iz citratno-nitratnega gela. Vse izhodne raztopine smo sušili pri temperaturi 60 °C in pri znižanem tlaku 2,7 kPa. Teoretično molsko razmerje c/n smo izračunali na osnovi idealizirane reakcije sinteze:



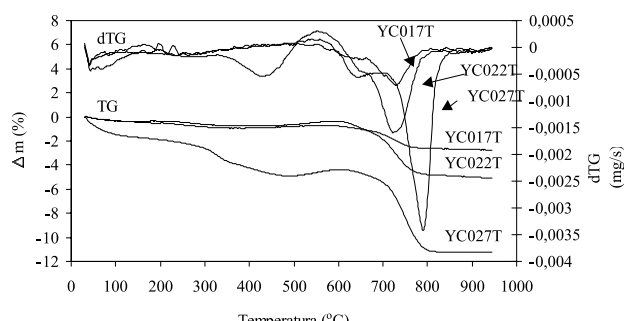
Ker se pri odparevanju vode iz reakcijske zmesi pri znižanem tlaku citratno-nitratno (c/n) razmerje spremeni, smo le-to spremenjali pod stehiometrično vrednostjo in nad njo (0,14, 0,17, 0,22, 0,27). Rezultati po sintezah so potrdili domnevo, da se razmerje c/n med odparevanjem vode spremeni v korist citronske kisline. Višje temperature sinteze in s tem višjo stopnjo pretvorbe smo dosegli pri razmerjih, nižjih od teoretičnega (0,277). Med gorenjem reakcijskih zmesi se sprošča rdečerjava para,

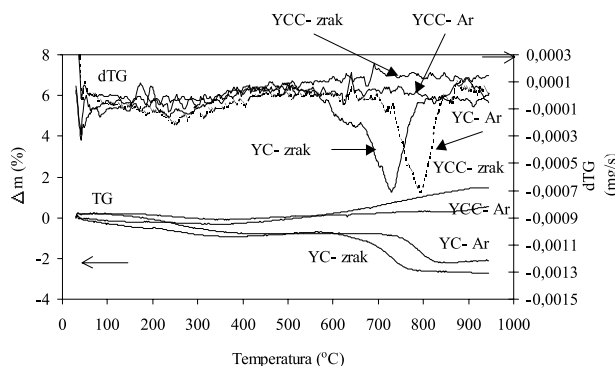
**Slika 1:** Slika zgorevalne sinteze vzorca YC017T**Figure 1:** Photograph of combustion synthesis of sample YC017T

kar kaže na nastanek NO_x med sintezo. Večjo prisotnost dušikovih oksidov med sintezo smo opazili pri vzorcih z višjimi citratno-nitratnimi razmerji (c/n > 0,22). Največjo hitrost in hkrati najvišjo temperaturo so pri sintezi dosegli vzorci z nižjim citratno-nitratnim razmerjem (YC017T in YC022T) (**slika 1**). Pri sintezi vzorca YC014 v tabletu ni bilo samovžiga. Višja temperatura redoks reakcije in s tem večja hitrost gorenja pri sintezi ter intenzivno izhajanje reakcijskih plinov povzroči nastanek bolj aktivnega produkta z večjo specifično površino. To nakazujejo tudi meritve specifične površine vzorcev YC017T in YC027T 14,7 in 7,5 m²/g.

Podoben potek sinteze kot pri nedopiranem vzorcu YC017T (hitrost gorenja 0,07 g/s) smo opazili tudi pri vzorcu z enakim razmerjem c/n, ki smo ga dopirali s kalcijem ($Y_7Ca_3CrO_3$). Zamenjava lantana s kalcijem se kaže v nekoliko večji hitrosti sinteze (0,2 g/s), kar je lahko povezano z vrsto kationa v zgorevalni reakcijski zmesi⁶.

S termično analizo smo ocenili stopnjo prevorbe vzorcev po sintezi. Razmerje c/n močno vpliva na stopnjo pretvorbe pri sintezi. Pri vseh vzorcih med segrevanjem še potekajo spremembe mase (**slika 2**). Vzorec YC027T spreminja maso intenzivneje od 30 °C do 860 °C, izguba mase je 11,2 %, od tega vzorec največ izgubi v temperaturnem intervalu od 676 °C do 856 °C (6,3 %). Od nedopiranih vzorcev se masa po sintezi najmanj spreminja pri vzorcu YC017T in je 2,7 %, največ mase izgubi ta vzorec v temperaturnem intervalu od 676 °C do 856 °C, to je 1,5 %. Ta zadnja stopnja se pri razmerju c/n=0,27 pomakne k višji temperaturi.

**Slika 2:** TG/DTG analize vzorcev YC017T, YC022T, YC027T**Figure 2:** TG/DTG curves of samples YC017T, YC022T, YC027T

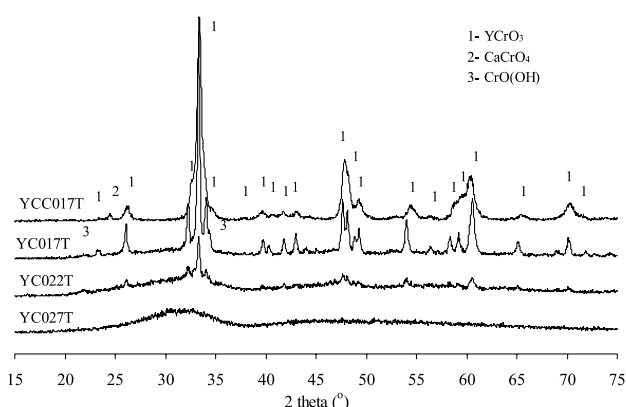


Slika 3: TG/DTG analize vzorcev YC017T in YCC017T v atmosferi zraka in argona

Figure 3: TG/DTG curves of samples YC017T and YCC017T in air and argon

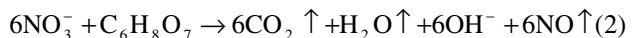
Vpliv atmosfere na termične lastnosti smo ugotavljali pri vzorcu YC017T ter pri dopiranem vzorcu. YCC017T (**slika 3**). Nasprotno od vzorca YC017T, ki izgubi maso v temperaturnem intervalu med 676 °C do 856 °C, pa vzorec YCC017T od temperature 350 °C naprej pridobiva maso. V atmosferi argona se pri nedopiranem vzorcu stopnja pomakne za okoli 60 °C k višji temperaturi, pri dopiranem pa naraščanja mase v atmosferi argona ni. Analize obeh vzorcev v argonu kažejo, da sta oba procesa povezana s kisikom.

Vzorec YC027T je po sintezi amorfen, YC022T je deloma, YC017T pa nekoliko bolje kristaliziran. Pri slednjih smo kot glavno fazo identificirali YCrO_3 v ortorombski modifikaciji, kot sekundarno fazo pa CrO(OH) (**slika 4**). Prisotnost kromovega oksida hidroksida kaže na delno podobnost s procesi med termično obdelavo ACP (amorfno citratnih prekursorjev)⁷. Prav tako na določeno podobnost kaže tudi sproščanje dušikovih oksidov med sintezo. Courty je pri razlagi teh procesov predložil različne možne reakcije, pri katerih ne pride do popolnega gorenja. Ena od možnih reakcij predvideva redukcijo dušika iz oksidacijskega stanja 5+ do 2+, pri reakciji pa nastaja tudi hidroksid.

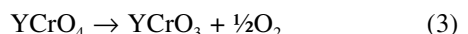


Slika 4: Rentgenska praškovna naliza vzorcev po sintezi

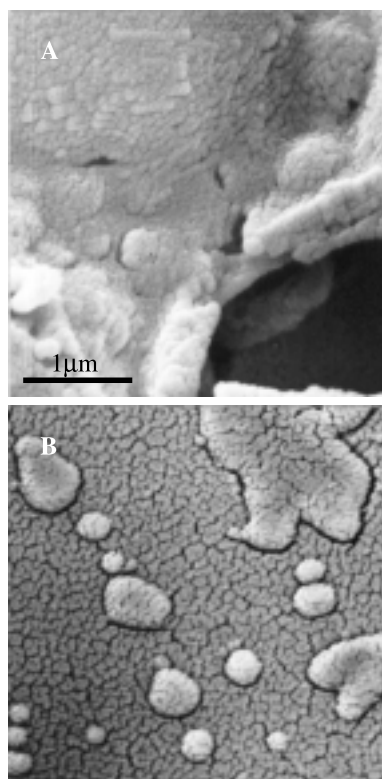
Figure 4: X-ray difraction pattern of samples after sythesis



Amorfni vzorec smo kalcinirali pri temperaturah 500 in 800 °C. Temperaturo kalcinacije smo izbrali na osnovi temperatur, ko se pri termogravimetrični analizi končata obe izrazitejši stopnji. Po kalcinaciji pri 500 °C je bil vzorec še vedno v veliki meri amoren, kristalizirati pa je pričel itrijev kromat YCrO_4 . Po kalcinaciji pri temperaturi 800 °C pa smo kot glavno fazo identificirali itrijev kromit, v sledovih pa smo zaznali tudi itrijev oksid. Tako lahko sklepamo, da v drugi stopnji termične analize tudi pri drugih vzorcih poteka pretvorba kromata v kromit po reakciji kot pri lantanovem kromitu⁸:

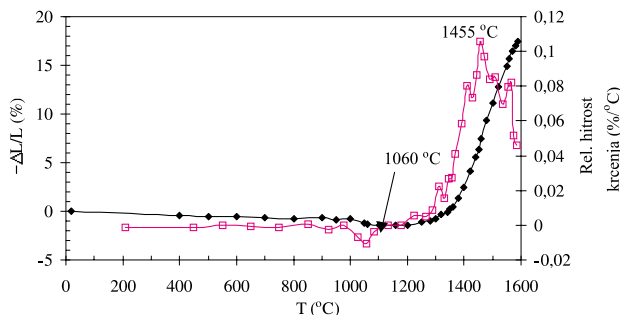


Dopirani vzorec (YCC017T) tako kot nedopirani (YC017T) vsebuje kot glavno fazo ortorombsko obliko itrijevega kromita (YCrO_3). V dopiranem vzorcu nastopa tudi sekundarna faza, to je kalcijev kromat (CaCrO_4), kar je navadno za vzorce, ki imajo več kot 25 mol. % itrija zamenjanega s kalcijem⁵. Kromat se kot sekundarna faza pojavlja tudi v lantanovem kromitu, dopiranem s kalcijem, ker je topnost kalcija v kromitu omejena in naraste šele pri višjih temperaturah nad 850 °C⁹. Drobne kapljice na površini vzorca YCC017 po termični analizi pa so verjetno izložena sekundarna faza, kar kaže primerjava slik tega vzorca pred termično analizo in po njej (**slika 5**). Rentgenska praškovna analiza je skladna z



Slika 5: Posnetki vzorca YCC017T: A) pred termično analizo in B) po njej

Figure 5: SEM micrographs of sample YCC017T: A) before and B) after thermal analysis



Slika 6: Krivulja sintranja vzorca YCC017T

Figure 6: Shrinkage curve of sample YCC017T

rezultati termične analize ter tudi kaže na odvisnost fazne sestave in stopnje kristaliničnosti od razmerja c/n.

Potek sintranja dopiranega vzorca YCC017T smo ugotavljali s segrevalnim mikroskopom v temperaturnem območju med 30 in 1600 °C. Nihanje med 1000 in 1060 °C pripisujemo taljenju sekundarne faze CaCrO₄, medtem ko se vzorec prične krčiti pri tempreturi 1200 °C. Največjo hitrost krčenja doseže pri temperaturi 1455 °C, vendar se proces zgoščevanja tudi pri končni temperaturi 1600 °C ne konča popolnoma. Pri vzorcih, pripravljenih po glicin-nitratnem postopku, poteka sintranje v temperaturnem intervalu med 1000 in 1100 °C. Razlog za razliko je lahko rahlo nihanje stehiomerije na mestu kroma¹⁰.

4 SKLEP

Prahove na osnovi itrijevega kromita smo pripravili z zgorevalno sintezo citratno-nitratnih gelov. Na potek sinteze in s tem na lastnosti končnih produktov smo vplivali s spremenjanjem molskega razmerja med citronsko kislino in nitrati. Razmerja citrat-nitrat smo variirali, in sicer od 0,14, do 0,27. Največjo stopnjo

pretvorbe in hkrati kristaliničen produkt smo dobili iz reakcijske zmesi s citratno nitratnim razmerjem 0,17. Kristaliničen je tudi podstehiometrijski vzorec YC022T. Vzorec YC027T je po sintezi amorfen, vzorec YC014T pa ostane nezreagiran.

Vzorec, dopiran s kalcijem (c/n=0,17), vsebuje po sintezi tako kot nedopiran vzorec YC017T glavno fazo YCrO₃ ter sekundarno fazo kalcijev kromat (CaCrO₄). Zamenjava itrija s kalcijem pospeši reakcijo zgorevalne sinteze.

Največjo hitrost krčenja doseže dopirani vzorec pri temperaturi 1455 °C, vendar se proces zgoščevanja tudi pri končni temperaturi 1600 °C ne konča popolnoma.

5 LITERATURA

- ¹J. T. Looby, L. Katz, J. Amer. Chem. Soc, 76 (**1954**), 6029
- ²Larry A. Chick et al., Phase Transitions and Transient Liquid - Phase Sintering in Calcium - Substituted Lanthanum Chromite, Journal of the American Ceramic Society, 80 (**1997**) 8, 2109-2120
- ³S. Geller, E. A. Wood, Crystallographic Studies of Perovskite - Like Compounds. I., Rare Earth Orthoferrites and YFeO₃, YCrO₃, YAlO₃, Acta Cryst. 9 (**1956**), 563-568
- ⁴W. J. Weber, C. W. Griffin, J. L. Bates, J. Am. Ceram. Soc. 70 (**1987**), 265-70
- ⁵Timothy R. Armstrong et al., The effect of reducing environments on the stability of acceptor substituted yttrium chromite, Solid State Ionics 92 (**1996**), 213 - 223
- ⁶J. J. Kingsley, L. R. Pedersen, Mat. Leh., 18 (**1993**), 89-96
- ⁷Courty, H. Ajot, Ch. Marcilly, B. Delmon, Oxides Mixtes on en Solution Solid sons Forme Tres Divisee Obtenus Decomposition Thermique de Precurseus Amorphes, Powder Technology, 7 (**1973**), 21-38
- ⁸T. Kikkiawa et al., Synthesis of LaCrO₃ by the Hydrazine Method, J. Mater. Sci. Lett., 14 (**1995**), 1071-1073
- ⁹J. D. Carter, The Low- Temperature Sintering Behaviour of (La, Ca)CrO₃, Dissertation, University of Missouri-Rolla, 1992, 1-16
- ¹⁰J. L. Bates, L. A. Chick, W. J. Weber, Synthesis, Air Sintering of Lanthanum and Yttrium Chromites and Manganites, Solid State Ionics, 52 (**1992**), 235-242